

Санкт-Петербургский государственный университет  
Прикладная математика и информатика  
Прикладная кибернетики

Перепелова Анастасия Сергеевна

УПРАВЛЕНИЕ ХАОСОМ В МОДЕЛИ БИЛЕРА-РЕЙТЕРА  
ПРОВОДЯЩЕЙ СИСТЕМЫ СЕРДЦА

Бакалаврская работа

Научный руководитель:  
д. ф.-м. н., профессор Ф. Райтманн

Рецензент:  
к. ф.-м. н., старший научный  
сотрудник Е. В. Кудряшова

Saint Petersburg State University  
Faculty of Mathematics and Mechanics  
Chair of Applied Cybernetics

Perepelova Anastasiia

CHAOS CONTROL IN THE BEELER-REUTER MODEL FOR  
CONDUCTION SYSTEM OF THE HEART

Graduation Thesis

Scientific Supervisor:  
Dr. of Science, Professor V. Reitmann

Reviewer:  
Ph.D., Senior Researcher  
E. V. Kudryashova

Saint Petersburg  
2017

# Оглавление

Введение . . . . .	4
Глава 1. Общая модель работы сердца . . . . .	6
Глава 2. Использование теории бифуркаций для исследования системы сердца . . . . .	8
2.1. Бифуркация удвоения периода . . . . .	8
2.2. Отображение Пуанкаре . . . . .	9
2.2.1. Получение формул разложения отображения Пуанкаре в ряд Тейлора . . . . .	10
2.2.2. Координатные функций отображения Пуанкаре . . . . .	14
2.2.3. Вывод одномерного отображения . . . . .	16
2.2.4. Проверка условий бифуркации удвоения периода . . . . .	18
Глава 3. Управление хаосом в модели проводящей системы сердца Билера–Рейтера . . . . .	20
3.1. Тип хаоса в модели Билера–Рейтера . . . . .	20
3.2. Использование максимального показателя Ляпунова для управления хаосом . . . . .	20
3.3. Элементы теории коциклов . . . . .	21
3.4. Диссипативность системы Билера–Рейтера . . . . .	23
3.5. Построение системы расширения для системы Билера–Рейтера . . . . .	27
3.6. Критерий устойчивости системы Билера–Рейтера . . . . .	30
Глава 4. Численное моделирование стабилизации системы Билера–Рейтера . . . . .	36
Заключение . . . . .	38
Список литературы . . . . .	39
Приложение А . . . . .	41
Приложение В . . . . .	42

# Введение

С развитием теории динамических систем и теории бифуркаций возникло новое понимание происхождения хаотичности. В связи с этим появилась возможность детального изучения физиологических процессов, предсказание и управление их динамикой, подавление наступающего в них хаоса. Одним из важных направлений является приложение разработанной теории к исследованию процессов возникающих в сердечной мышце [1]. В данной работе рассматривается система Билера–Рейтера [9] описывающая работу проводящей системы сердца. Данная система интересна не только с медицинской точки зрения, но и с математической, так как многие аномалии в сердце представляют собой интересные примеры колебаний, бифуркаций и хаотической динамики [19, 12].

Аритмии в сердце, такие как фибрилляции и эктопическое сердцебиение, опасны для жизни человека [1], поэтому понимание механизмов их возникновения является важной задачей имеющей огромное значение. В данном контексте наиболее трудным является контроль и предотвращение таких биологических аномалий. Но в силу того, что аритмии связаны с бифуркациями и хаосом в системе, мы можем использовать методы управления бифуркациями для контроля сердечного ритма [17, 11]. Переходим к краткому изложению работы.

В первой главе рассмотрена математическая модель Билера-Рейтера проводящей системы сердца, моделирующая работу мембраны клетки сердечного миокарда.

Во второй главе описан метод исследования возникновения бифуркации удвоения периода в системе Билера-Рейтера с помощью построения отображения Пуанкаре и дальнейшей редукцией на центральное многообразие.

В рамках третьей главы описан метод стабилизации системы в терминах максимального показателя Ляпунова. Приведены доказательства диссипативности системы с использованием метода функции Ляпунова и основные понятия теории коциклов. Сформулирован критерий устойчивости по Ляпунову системы, с введенной в нее функцией управления. Также, получены условия на управляющую функцию, при которых система стаби-

лизируется.

В четвертой главе осуществлена проверка того, что при введении функции управления система стабилизируется.

**Цели данной работы:**

1. Исследование подхода построения отображения Пуанкаре для анализа бифуркаций удвоения периода в системе Билера–Рейтера.
2. Введение функции управления и получение условия для предотвращения цепочки бифуркаций такого типа, приводящей к хаосу.

# Глава 1

## Общая модель работы сердца

В этой главе описана математическая модель потенциала действия клеточной мембраны сердечной ткани млекопитающих полученная в работе [9]. Данная модель основывается на ионной модели предложенной Ходжкиным и Хаксли [13].

Мембрана клетки проводящей системы сердца представляет собой параллельно включенные емкость  $C$  и четыре элемента-источника тока, имеющие внутренние сопротивления. Эти сопротивления являются переменными и определяются ионными проводимостями.

Рассмотрим идею построения модели на калиевом токе [2], для остальных токов аналогично. Имеется сопротивление  $R_K$  и калиевая проводимость  $\sigma_K$ . Ионы калия идут через мембрану клетки в обе стороны. Когда потенциал мембраны  $v$  равен равновесному потенциалу для калия  $v_K$ , то калиевый ток  $I_K$  равен нулю. Если потенциал отклоняется от равновесного появляется калиевый ток. Его силу тока можно вычислить из формулы  $I = \frac{v}{R}$ , заменив  $\frac{1}{R}$  на калиевую проводимость  $\sigma_K$ , а  $v$  на величину отклонения от равновесного, получим

$$I_K = \sigma_K(v - v_K).$$

Заряд на конденсаторе равен разности потенциалов на его пластинах, умноженной на емкость  $q = vC$ . Продифференцируем равенство и получим

$$\frac{dq}{dt} = C \frac{dv}{dt},$$

где  $\frac{dq}{dt}$  — сила тока, поступающего на конденсатор, то есть сумма всех ионных токов. Так получим уравнение, определяющее изменение потенциала мембраны при изменении проводимостей мембраны и внешнего воздействия:

$$-C\dot{v} = I_{nab}(v) + I_{Ca}(d, n, v) + I_{k1}(v) + I_K + I_{Na} - I_{app}.$$

Полная система уравнений, описывающая изменения во времени электрических характеристик возбудимой мембраны такова:

$$\begin{cases} -C\dot{v} = I_{nab}(v) + I_{Ca}(d, n, v) + I_{k_1}(v) + I_K(v) + I_{Na}(v) - I_{app}, \\ \dot{y} = A(v)(1 - y) - B(v), \end{cases} \quad (1.0.1)$$

где  $y = (d, n, h, m, x)^T \in \mathbb{R}^5$  и  $v \in \mathbb{R} \setminus \{-23\}$ ,  $t > 0$ ;  $A(v) = \{a_{ij}(v)\}_{i,j=1}^5$ ,  $B(v) = \{b_{ij}(v)\}_{i,j=1}^5$  – матричные функции с  $a_{ij} = b_{ij} = 0$ ,  $i \neq j$ ,

$$a_{ii}(v) = \frac{c_1^{(1,i)} e^{c_2^{(1,i)}(v+c_3^{(1,i)})} + c_4^{(1,i)}(v + c_5^{(1,i)})}{e^{c_6^{(1,i)}(v+c_3^{(1,i)})} + c_7^{(1,i)}},$$

$$b_{ii}(v) = \frac{c_1^{(2,i)} e^{c_2^{(2,i)}(v+c_3^{(2,i)})} + c_4^{(2,i)}(v + c_5^{(2,i)})}{e^{c_6^{(2,i)}(v+c_3^{(2,i)})} + c_7^{(2,i)}}, \quad i = 1, \dots, 5,$$

$$I_{nab}(v) = \sigma_{nab}(v - v_{Na}), \quad I_{Ca}(d, n, v) = \sigma_{Ca}dn(v - v_{Ca}),$$

$$I_{k_1}(v) = 0.35 \left( 4 \frac{e^{0.04(v+85)} - 1}{e^{0.08(v+53)} + e^{0.04(v+53)}} + 0.2 \frac{v + 23}{1 - e^{-0.04(v+23)}} \right).$$

Модель включает в себя  $v$ - напряжение клеточной мембраны и 5 компонентов токов :  $m, h$ - активация и инактивация натрия соответственно,  $d$ - активация кальция,  $n$ -инактивация кальция,  $x$ - активация калия. Константы  $c_k^{(i,j)}$ ,  $i, j = 1, 2$ ,  $k = 1, 2, \dots, 7$ ,  $\sigma_{nab}, \sigma_{Ca}, C, v_{Ca}, v_{Na}$  заданы в [9].

В работе [8] доказано, что решение  $(v(t), d(t), n(t), 0, 0, 0)$ - устойчиво на многообразии  $M = \{(d, n, h, m, x) \in \mathbb{R}^5 | dn \geq 0, h = m = x = I_{app} = 0\}$ , поэтому для анализа бралась следующая система:

$$\begin{cases} -C\dot{v} = \sigma_{nab}(v - v_{Na}) + \sigma_{Ca}dn(v - v_{Ca}) + I_{k_1}(v), \\ \dot{y} = A(v)(1 - y) - B(v), \end{cases} \quad (1.0.2)$$

$$y = \begin{pmatrix} d \\ n \end{pmatrix}, \quad A(v) = \{a_{ij}(v)\}_{i,j=1}^2, \quad B(v) = \{b_{ij}(v)\}_{i,j=1}^2.$$

Все константы и функции  $a_{ij}(v), b_{ij}(v), I_{k_1}(v), I_{nab}(v)$ –определены выше, и в общем виде система (1.0.2) выглядит следующим образом:

$$\dot{u}(t) = f(u), \quad u = (v, d, n)^T, \quad d, n \in \mathbb{R}, \quad v \in \mathbb{R} \setminus \{-23\}, \quad t > 0. \quad (1.0.3)$$

## Глава 2

# Использование теории бифуркаций для исследования системы сердца

В данной главе используются основные понятия теории бифуркаций, в качестве источника была использована [5].

### 2.1. Бифуркация удвоения периода

Пусть задано отображение

$$\varphi : M \times \Lambda \rightarrow M, \quad (2.1.1)$$

$$u_{t+1} = \varphi(u_t, \alpha),$$

где  $\alpha \in \Lambda \subset \mathbb{R}^d$  и  $M \subset \mathbb{R}^n$  – открытые множества,  $\varphi \in C^l$ ,  $l \geq 1$ ,  $(0, 0) \in M \times \Lambda$ ,  $\varphi(0, 0) = 0$ .

Предположим, что в (2.1.1)  $l \geq 4$ ,  $d = 1$ . Одно собственное значение  $\frac{\partial \varphi}{\partial u}(0, 0)$  равно  $-1$ , и остальные собственные значения с  $|\lambda_j| \neq 1$ . Тогда в силу следствия из принципа редукции Шошитайшвили (см. [5]) имеем описание бифуркации через одномерное отображение  $x \mapsto g(x, \alpha)$ ,  $g(0, 0) = 0$ ,  $\frac{\partial g}{\partial x}(0, 0) = -1$ , заданное на центральном многообразии  $W_{loc}^c(0) := \{(x, y) \in U \mid y = 0\}$ , где  $U$  – некоторая окрестность начала координат в  $\mathbb{R}^n$ . Сделаем следующее предположение.

**Предположение 2.1.1.** Пусть выполняются условия:

1.  $a := \frac{\partial^2 g}{\partial x \partial \alpha}(0, 0) \neq 0$ ;
2.  $b^2 + c^2 \neq 0$ ,  $b = \frac{1}{2} \frac{\partial^2 g}{\partial x^2}(0, 0)$ ,  $c = \frac{1}{3!} \frac{\partial^3 g}{\partial x^3}(0, 0)$ .

В случае предположения 2.1.2  $g(x, \alpha) = -x + \alpha x + bx^2 + cx^3 + \dots$ ,  $g(0, \alpha) = 0$ ,  $|\alpha| < \delta$ . Рассмотрим нормальную форму для  $g(x, \alpha)$  в виде

$$g(x, \alpha) = (-1 + \alpha)x + x^3 + \dots \quad (2.1.2)$$



Имеем состояние равновесия  $x = 0$  для любого  $\alpha \in V$ -окрестности нуля. Проверим его устойчивость с помощью линеаризации:

$$\frac{\partial g}{\partial x}(0, 0)|_{x=0} = -1 + \alpha a,$$

возможны два случая:

$$-1 + \alpha a = \begin{cases} < -1 & \alpha a < 0 - \text{неустойчивый случай,} \\ > -1 & \alpha a > 0 - \text{асимптотическая устойчивость.} \end{cases}$$

**Интерпретация для дифференциального уравнения :** Пусть дана система

$$\dot{u} = f(u, \alpha), \quad \alpha \in \mathbb{R}, u \in \mathbb{R}^N. \quad (2.1.3)$$

Пусть периодическое решение  $\gamma_0$  системы (2.1.3) в  $M \subset \mathbb{R}^N$  имеет мультипликаторы  $\rho_1 = -1$ ,  $|\rho_j| < 1, j = 2, \dots, N$ . Пусть  $N = 3$  и  $x \mapsto (-1 + \alpha)x + x^3 + \dots$  — редуцированное отображение Пуанкаре  $P_0$  (подробнее в [5]). На рисунке показано, как вблизи  $\alpha < 0$  периодического решения при  $\alpha > 0$  порождается периодическое движение с удвоенным периодом.

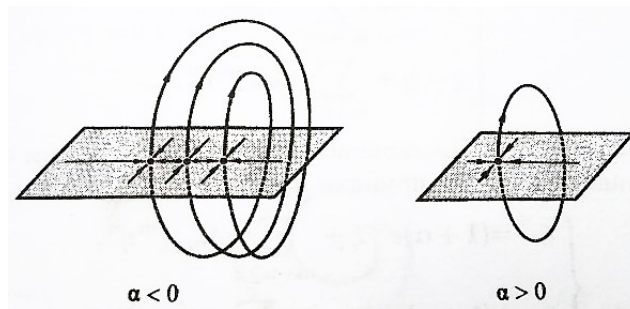


Рис. 2.1.1: Порождение периодического движения с удвоенным периодом (см. [5])

## 2.2. Отображение Пуанкаре

Для детального анализа модели мы будем пользоваться так называемой нормальной формой Пуанкаре. В данной главе приведен алгоритм получения нормальной формы и некоторые сведения по ее анализу. Источниками являются [5], [16].

### 2.2.1. Получение формул разложения отображения Пуанкаре в ряд Тейлора

Займемся построением Пуанкаре для системы (1.0.3) с введенным бифуркационным параметром вместо  $I_{app} = f(b, \alpha) = \alpha b$  и фильтром обратной связи, который представлен четвертым уравнением. Это частный случай  $n$ -мерной системы с  $n = 4$ :

$$\begin{cases} -C\dot{v} = I_{nab}(v) + I_{Ca}(d, n, v) + I_{k1}(v) - \alpha b, \\ \dot{y} = A(v)(1 - y) - B(v), \\ \dot{b} = -c_0(b - b_0) - c_1(v - x_1^{(0)}) - c_2(d - x_2^{(0)}) - c_3(n - x_3^{(0)}), \end{cases} \quad (2.2.1)$$

$$y = \begin{pmatrix} d \\ n \end{pmatrix}, A(v) = \begin{pmatrix} a_{11}(v) & 0 \\ 0 & a_{22}(v) \end{pmatrix}, B(v) = \begin{pmatrix} b_{11}(v) & 0 \\ 0 & b_{22}(v) \end{pmatrix},$$

где  $\alpha \in \mathbb{R}$  – бифуркационный параметр,  $a_{ii}(v), b_{ii}(v), I_{k1}(v), I_{nab}(v)$  – определены как в главе 1,  $x^{(0)}$  – состояние равновесия, константы  $c_k^{(i,j)}, i, j = 1, 2, k = 1, 2, \dots, 7, \sigma_{nab}, \sigma_{Ca}, C, v_{Ca}, v_{Na}$  – заданны, а  $c_0 = 0.001, c_1 = 0.001, c_2 = 0.3, c_3 = 0.01, b_0 = 1, x_1^{(0)} = 6.414426, x_2^{(0)} = 0.969400, x_3^{(0)} = 0.512917, x_4^{(0)} = 0.99999$ .

Последнее уравнение системы (2.2.1) и функция управления с использованием  $\alpha$  были введены согласно [17]. Краткая запись системы (2.2.1) выглядит так:

$$\dot{u} = f(u, \alpha), \quad \alpha \in \mathbb{R}, \quad (2.2.2)$$

$$u = \begin{pmatrix} v \\ d \\ n \\ b \end{pmatrix}, \quad d, n, b \in \mathbb{R}, \quad v \in \mathbb{R} \setminus \{-23\}, \quad t > 0,$$

где  $f : \mathbb{R}^4 \times \mathbb{R} \rightarrow \mathbb{R}^4$  – гладкое векторное поле класса  $C^4$ . Для фиксированного  $\alpha$  обозначим  $\varphi_\alpha^t(u_0) = u(t, u_0, \alpha)$ , где  $u(t, u_0, \alpha)$  – решение системы (2.2.2), с начальным условием  $u(0, u_0, \alpha) = u_0$ .

Анализ устойчивости периодического решения  $u(t, u_0, \alpha) = u(T + t, u_0, \alpha)$  системы (2.2.2) с начальным условием  $u(0, u_0, \alpha) = u_0$  сводится к исследованию тривиального решения  $\xi(t) \equiv 0$  – состояния равновесия отображения  $P : \Sigma \rightarrow \Sigma$ , где  $\Sigma = \{\xi \in \mathbb{R}^n : (f(u_0, \alpha), \xi) = 0\}$ .

Пусть точка  $u_0$  – точка на предельном цикле системы (2.2.2), и пусть  $\Sigma$  – гиперплоскость, трансверсальная к  $\gamma(u_0)$  –траектории  $T$ –периодического движения. Отображение  $P(0)$  переводит ее в точку, где кривая вновь пересекается с поверхностью, обозначим эту точку  $u_1$ :

$$u_1(\alpha) = P(0, \alpha) = \mathcal{P}(u_0, \alpha) = \varphi_\alpha^T(u_0) = u_0(\alpha).$$

Точка совпадает с начальной, так как движение периодическое. Подобным образом можем получить, что траектория, начинающаяся в точке  $u_1 = u_0 + \xi$  вблизи точки  $u_0$ , пересекает гиперплоскость  $\Sigma$  в точке  $u_2$ :

$$u_2(\alpha) = P(\xi, \alpha) = \mathcal{P}(u_1(\alpha)) = \varphi_\alpha^{\tau(\xi)}(u_1(\alpha)), \quad (2.2.3)$$

где  $\tau(\xi)$  – определяет момент времени, в который кривая пересекает гиперплоскость  $\Sigma$ .

Разложим отображение Пуанкаре в ряд Тейлора в точке  $u_0$ :

$$P(\xi, \alpha) = \mathcal{P}(u_0(\alpha) + \xi) = P(0, \alpha) + d_0 P(\xi, \alpha) + \frac{1}{2} d_0^2 P(\xi^2, \alpha) + \frac{1}{6} d_0^3 P(\xi^3, \alpha) + \dots, \quad (2.2.4)$$

где многоточие обозначает члены высокого порядка, а  $\xi \in \Sigma \subset \mathbb{R}^3$ ,  $P(0, \alpha) = \mathcal{P}(u_0(\alpha)) = u_0(\alpha)$ . Также, в данной формуле  $dP : \mathbb{R}^3 \rightarrow L(\mathbb{R}^3, \mathbb{R}^3)$  – дифференциал отображения  $P$ , а  $d_u(d^{r-1}P) \in L(\mathbb{R}^3, L^r(\mathbb{R}^3, \mathbb{R}^3))$  – дифференциал  $r$ -ого порядка отображения  $P$  в точке  $u$  для произвольного натурального  $r \geq 2$ .

*Замечание 2.2.1.* Отображение трехмерное потому, что, как показано в [3],  $\mathbb{R}^4 = \text{span}\{f(x_0)\} \oplus \Sigma$ . Поэтому запишем исходную систему (2.2.2) в системе координат, связанной с циклом  $u(t, u_0, \alpha)$  периода  $T$ . Замена  $u(t) = Q(t, \alpha)y(t)$  с  $T$ –периодической матрицей  $Q(t, \alpha)$ , выбранной в соответствие с переходом. В такой системе одним из координатных векторов является вектор  $\dot{u}(t, u_0, \alpha)$ , касательный к циклу, другим – вектор цикла  $u(t, u_0, \alpha)$ . Так как мультипликатор цикла, соответствующий вектору

$\dot{u}(t, u_0, \alpha)$ , всегда равен единице, а показатель Флоке – нулю и не является бифуркационным, то координаты нормальной формы лежат в гиперплоскости  $\Sigma$ , задаваемой последними 3 компонентами вектора  $y(t)$ . Обозначим вектор, имеющий на единицу меньшую размерности, чем вектор  $y(t)$  за  $\tilde{u}(t)$ . Система (2.2.2) в новых координатах, имеющая размерность 3:

$$\dot{\tilde{u}} = h(\tilde{u}, \alpha), \quad \tilde{u} \in \mathbb{R}^3, h : \mathbb{R}^3 \times \mathbb{R} \rightarrow \mathbb{R}^3. \quad (2.2.5)$$

Переобозначим  $\tilde{u}(t, \tilde{u}_0, \alpha) = \varphi_\alpha^t(\tilde{u}_0)$ . Данное замечание описано в [3].

Производные из разложения (2.2.4) можно вычислить как решения дифференциальных уравнений по начальным данным. Это видно, если (2.2.3) разложить в ряд Тейлора до производной третьего порядка при фиксированном  $t = T$  в точке  $\tilde{u}_0$ . Мы можем проделать данную операцию в силу того, что решение системы  $\tilde{u} \in C^4$  нужной нам гладкости и  $P(\xi) = \tilde{u}(T, \tilde{u}_0 + \xi, \alpha)$ . Получим

$$\tilde{u}(T, \tilde{u}_0 + \xi, \alpha) = \varphi_\alpha^T(\tilde{u}_0) + d_{\tilde{u}_0} \varphi_\alpha^T(\tilde{u}_0, \xi) + \frac{1}{2} d_{\tilde{u}_0}^2 \varphi_\alpha^T(\tilde{u}_0, \xi^2) + \frac{1}{6} d_{\tilde{u}_0}^3 \varphi_\alpha^T(\tilde{u}_0, \xi^3) + \dots \quad (2.2.6)$$

Сравнивая выражения (2.2.4) и (2.2.6), получаем:

$$\begin{aligned} d_0 P(\xi, \alpha) &= d_{\tilde{u}_0} \varphi_\alpha^T(\tilde{u}_0, \xi), \quad d_0^2 P(\xi^2, \alpha) = d_{\tilde{u}_0}^2 \varphi_\alpha^T(\tilde{u}_0, \xi^2, \alpha), \\ d_0^3 P(\xi^3, \alpha) &= d_{\tilde{u}_0}^3 \varphi_\alpha^T(\tilde{u}_0, \xi^3). \end{aligned}$$

Получим уравнение для первого коэффициента разложения, применив частную производную по начальным данным к уравнению (2.2.2).

*Замечание 2.2.2.* Здесь и далее введем обозначение  $D_i f(x) = \frac{\partial f}{\partial x_i}(x)$ ,  $x \in \mathbb{R}^n$ ,  $f : \mathbb{R}^n \rightarrow \mathbb{R}^n$  – гладкое векторное поле.

Получим в итоге:

$$D_1 D_2 \varphi_\alpha^t(\tilde{u}_0) = D_1 h(\varphi_\alpha^t(\tilde{u}_0), \alpha) D_2 \varphi_\alpha^t(\tilde{u}_0), \quad (2.2.7)$$

или в более краткой форме

$$\dot{y}(t, \alpha) = G(t, \alpha) y(t, \alpha), \quad y(t) = D_2 \varphi_\alpha^t(\tilde{u}_0) \quad (2.2.8)$$

–система в вариациях, где  $G(t, \alpha)$  получается из матрицы

$$(Q^{-1}D_1f(\varphi_\alpha^t(\tilde{u}_0), \alpha), \alpha)Q - Q^{-1}\dot{Q}$$

с вычеркнутыми первыми столбцом и строкой. Данная процедура описана в [3]. Здесь

$$D_1f(\varphi_\alpha^t(\tilde{u}_0), \alpha) = \frac{\partial f(\tilde{u})}{\partial \tilde{u}} \Big|_{\tilde{u}=\varphi_\alpha^t(\tilde{u}_0)} = \left( \frac{\partial f(\tilde{u})}{\partial \tilde{u}_1}, \frac{\partial f(\tilde{u})}{\partial \tilde{u}_2}, \dots, \frac{\partial f(\tilde{u})}{\partial \tilde{u}_4} \right) \Big|_{\tilde{u}=\varphi_\alpha^t(\tilde{u}_0)}$$

– матрица Якоби отображения  $f$  в точке  $\tilde{u} = \varphi_\alpha^t(\tilde{u}_0)$ , а  $D_2\varphi_\alpha^t(\tilde{u}_0) = \frac{\partial}{\partial \tilde{u}_0}\varphi_\alpha^t(\tilde{u}_0)$ ,  $D_1\varphi_\alpha^t(\tilde{u}_0) = \frac{\partial}{\partial t}\varphi_\alpha^t(\tilde{u}_0)$ .

Таким образом, первый коэффициент разложения отображения Пуанкаре удовлетворяет системе в вариациях (2.2.8). Для его нахождения нужно проинтегрировать систему (2.2.8) порядка 3 линейных однородных дифференциальных уравнений от  $t = 0$  до  $t = T$ , с начальным условием  $y(0) = I_3$ , где  $I_3$  – единичная матрица размера  $3 \times 3$ . Будем в дальнейшем использовать известный факт [5] из которого следует, что решением системы (2.2.8) будет являться фундаментальная матрица, нормированная при  $t = 0$ . Обозначим решение через  $X_1(t, \alpha)$ .

Для получения системы для второго коэффициента в разложении (2.2.4), продифференцируем систему (2.2.7) по начальным данным:

$$D_1D_2^2\varphi_\alpha^t(\tilde{u}_0) = D_1h(\varphi_\alpha^t(\tilde{u}_0), \alpha)D_2^2\varphi_\alpha^t(\tilde{u}_0) + D_1^2h(\varphi_\alpha^t(\tilde{u}_0), \alpha)(X_1(t, \alpha))^2 \quad (2.2.9)$$

или кратко

$$\dot{z}(t, \alpha) = G(t, \alpha)z(t, \alpha) + D_1^2h(\varphi_\alpha^t(\tilde{u}_0), \alpha)(X_1(t, \alpha))^2, \quad z(t) = D_2^2\varphi_\alpha^t(\tilde{u}_0).$$

Решение (2.2.9) обозначим через  $X_2(t, \alpha)$ .

Третий член в разложении (2.2.4) найдем из (2.2.9), продифференцировав ее по начальным данным. Получим систему:

$$\dot{z}(t, \alpha) = G(t, \alpha)z(t, \alpha) + 3D_1^2h(\varphi_\alpha^t(\tilde{u}_0), \alpha)X_1(t, \alpha)X_2(t, \alpha) + \quad (2.2.10)$$

$$+D_1^3 h(\varphi_\alpha^t(\tilde{u}_0), \alpha)(X_1(t, \alpha))^3,$$

$$z(t, \alpha) = D_2^3 \varphi_\alpha^t(\tilde{u}_0).$$

Решение системы (2.2.10) обозначим через  $X_3(t, \alpha)$ .

Таким образом, был описан метод получения первых трех коэффициентов в разложении (2.2.4) отображения Пуанкаре.

### 2.2.2. Координатные функций отображения Пуанкаре

Мы получили выражение (2.2.4) в общем виде. В силу того, что  $P(\xi, \alpha)$  – это вектор-функция, можем получить ее координатные функции.

Распишем подробнее дифференциал второго порядка от  $P(\xi, \alpha)$ :

$$d_0^2 P(\xi^2, \alpha) = \sum_{i,j=1}^3 \frac{\partial^2 P(\xi, \alpha)}{\partial \xi_i \partial \xi_j} \xi_i \xi_j. \quad (2.2.11)$$

Соответственно следует брать частные производные правой части  $h(\tilde{u}, \alpha)$  в (2.2.5) для выражения частных производных  $P(\xi)$ . Дифференцирование по вектору  $\tilde{u}_0 = (\tilde{u}_1^0, \tilde{u}_2^0, \tilde{u}_3^0)$  можем расписать как дифференцирование по каждой его компоненте. Система для компонент вектор-функции  $d_0 P(0) = \frac{\partial \tilde{u}}{\partial \tilde{u}_0}(T, \xi)$  имеет своим решением  $X_1(T, \alpha)_i = \frac{\partial \tilde{u}}{\partial \tilde{u}_i^0} = \phi_i(u_0, T, \alpha) = \phi_i$ -столбцы фундаментальной матрицы системы (2.2.8).

Семейство систем с  $i, j = 1, 2, 3$  для получения частных производных второго порядка отображения Пуанкаре, полученное из (2.2.9) имеет вид:

$$\begin{cases} \frac{\partial}{\partial t} \left( \frac{\partial^2 \tilde{u}}{\partial \tilde{u}_i^0 \partial \tilde{u}_j^0} \right) (t, \alpha) = \frac{\partial h}{\partial \tilde{u}}(\varphi_\alpha^t(\tilde{u}_0), \alpha) \frac{\partial^2 \tilde{u}}{\partial \tilde{u}_i^0 \partial \tilde{u}_j^0} + \sum_{\mu, \nu=1}^3 \frac{\partial^2 h(\varphi_\alpha^t(\tilde{u}_0), \alpha)}{\partial \tilde{u}_\mu \partial \tilde{u}_\nu} (\phi_i)_\mu (\phi_j)_\nu, \\ \frac{\partial^2 \tilde{u}}{\partial \tilde{u}_i^0 \partial \tilde{u}_j^0}(0, \alpha) = 0. \end{cases} \quad (2.2.12)$$

Для решения системы с фиксированными  $i, j = 1, 2, 3$  можно применять стандартный метод решения систем дифференциальных уравнений. Для начала находим общее решение из однородной системы

$$\frac{\partial}{\partial t} \left( \frac{\partial^2 \tilde{u}}{\partial \tilde{u}_i^0 \partial \tilde{u}_j^0} \right) (t, \alpha) = \sum_{\mu=1}^3 \frac{\partial h_k(\varphi_\alpha^t(\tilde{u}_0), \alpha)}{\partial \tilde{u}_\mu} \frac{\partial^2 \tilde{u}_\mu}{\partial \tilde{u}_0^i \partial \tilde{u}_0^j}, \quad k = 1, 2, 3.$$

Как это было показано в предыдущем разделе решением однородной

системы для компонент вектор-функции  $d_u^2 P(\xi)$  будут компоненты соответствующей строки матрицы  $X_1(T, \alpha)$ . Значит можем найти частное решение методом вариации произвольных постоянных для  $k = 1, 2, 3$ :

$$\dot{c}_1(t)_k(\phi_1)_k + \dot{c}_2(t)_k(\phi_2)_k + \dot{c}_3(t)_k(\phi_3)_k = \sum_{\mu, \nu=1}^3 \frac{\partial^2 h_k(\varphi_\alpha^t(\tilde{u}_0), \alpha)}{\partial \tilde{u}_\nu \partial \tilde{u}_\mu} (\phi_i)_\mu (\phi_j)_\nu,$$

где  $c_1(t), c_2(t), c_3(t)$  – вектор-функции в  $\mathbb{R}^3$ , а  $c_i(t)_k$  –  $k$ -ая компонента вектора.

Обозначим решение системы (2.2.12) с начальным условием  $\psi_{ij}(\tilde{u}_0, 0, \alpha) = 0$  через  $\psi_{ij} = \psi_{ij}(\tilde{u}_0, T, \alpha)$  – вектор-функции, где система решается для каждого  $i, j \in 1, 2, 3$ .

Решения системы для третьих частных производных отображения Пуанкаре найдем аналогичным образом и обозначим через  $\zeta_{ijk}(t, \alpha)$ ,  $i, j, k = 1, 2, 3$ .

Таким образом, согласно (2.2.4), выпишем уравнение для  $P(\xi)$ , подставив полученные нами формулы для коэффициентов разложения отображения Пуанкаре, где многоточие обозначает члены высокого порядка:

$$\tilde{u}_1(\alpha) = \tilde{u}_0(\alpha) + \sum_{i=1}^3 \phi_i(\tilde{u}_0, T, \alpha) \xi_i + \sum_{i,j=1}^3 \psi_{ij}(\tilde{u}_0, T, \alpha) \xi_i \xi_j + \quad (2.2.13)$$

$$+ \sum_{i,j,k=1}^3 \zeta_{ijk}(\tilde{u}_0, T, \alpha) \xi_i \xi_j \xi_k + \dots,$$

$$\tilde{u}_1(\alpha) = \tilde{u}_0(\alpha) + \xi_t(\alpha), \quad \xi_t(\alpha) = (\xi_{1,t}(\alpha), \xi_{2,t}(\alpha), \xi_{3,t}(\alpha)), \quad (2.2.14)$$

$$\xi_{i,t+1}(\alpha) = \sum_{\mu=1}^3 (\phi_\mu(\tilde{u}, T, \alpha))_i \xi_{\mu,t}(\alpha) + \sum_{\mu,\nu=1}^3 (\psi_{\mu,\nu}(\tilde{u}_0, T, \alpha))_i \xi_{\mu,t}(\alpha) \xi_{\nu,t}(\alpha) + \quad (2.2.15)$$

$$+ \sum_{\mu,\nu,\kappa=1}^3 (\zeta_{\mu\nu\kappa}(\tilde{u}_0, T, \alpha))_i \xi_{\mu,t}(\alpha) \xi_{\nu,t}(\alpha) \xi_{\kappa,t}(\alpha) + \dots, \quad t = 0, 1 \dots i = 1, 2, 3.$$

Затем, чтобы привести матрицу линейной части  $X_1(T, \alpha)$  отображения Пуанкаре  $d_u^2 P(\xi)$  к жордановой форме  $J = B^{-1} X_1(T, \alpha) B$  делаем не особую

замену :

$$\xi(\alpha) = B(\alpha)y.$$

Получаем отображение для  $i = 1, 2, 3, t = 0, 1, 2, \dots$  :

$$\begin{aligned} y_{i,t+1}(\alpha) &= \lambda_i(\alpha)y_{i,t}(\alpha) + \sum_{\mu,\nu=1}^3 (\psi'_{\mu,\nu}(\tilde{u}_0, T, \alpha))_i y_{\mu,t}(\alpha)y_{\nu,t}(\alpha) + \\ &+ \sum_{\mu,\nu,\kappa=1}^3 (\zeta_{\mu\nu\kappa}(\tilde{u}_0, T, \alpha))_i y_{\mu,t}(\alpha)y_{\nu,t}(\alpha)y_{\kappa,t}(\alpha) + \dots = \\ &= \lambda_i(\alpha)y_{i,t}(\alpha) + G_i(y_{1,t}, y_{2,t}, y_{3,t}, \alpha), \end{aligned} \quad (2.2.16)$$

где  $\lambda_i(\alpha), i = 1, 2, 3$  – собственные числа матрицы  $X_1(T, \alpha)$ , а  $G : \mathbb{R}^3 \rightarrow \mathbb{R}^3$  – функция содержащая члены порядка два и выше ,

$$G(y) = (G_1(y), G_2(y), G_3(y), \alpha).$$

### 2.2.3. Вывод одномерного отображения

Имеем трехмерное дискретное отображение (2.2.16). Упорядочим уравнения в (2.2.16) в таком порядке, чтобы линейная часть первого уравнения была с собственным числом  $|\lambda_1(\alpha)| = 1$ , а остальные два с собственными числами линейной части меньше единицы для  $i = 2, 3, t = 0, 1, 2, \dots$

$$y_{1,t+1}(\alpha) = \lambda_1(\alpha)y_{1,t}(\alpha) + G_1(y_{1,t}, y_{2,t}, y_{3,t}, \alpha), \quad (2.2.17)$$

$$y_{i,t+1}(\alpha) = \lambda_i(\alpha)y_{i,t}(\alpha) + G_i(y_{1,t}, y_{2,t}, y_{3,t}, \alpha).$$

Выразим вторую и третью компоненту вектора  $y_t$  через первую, чтобы получить одномерное отображение. Для этого представим их в виде

$$y_{i,t}(\alpha) = w(y_{1,t}, \alpha)_i, \quad i = 2, 3, t = 0, 1, 2, \dots, \quad (2.2.18)$$

где  $w : \mathbb{R} \times \mathbb{R} \rightarrow \mathbb{R}^2$  – некоторая неизвестная функция от первой компоненты вектора  $y_t$ . Ее аппроксимацию обозначим через  $W : \mathbb{R} \times \mathbb{R} \rightarrow \mathbb{R}^2$ .

$$y_{i,t}(\alpha) = W(y_{1,t}, \alpha) = b_{i,2}(\alpha)y_{1,t}^2(\alpha) + b_{i,3}(\alpha)y_{1,t}^3(\alpha), \quad i = 2, 3, t = 0, 1, 2, \dots \quad (2.2.19)$$



Подставим представление компонент (2.2.19) в уравнение (2.2.17) и хотим, чтобы такое выражение аппроксимировало бы (2.2.17) с порядком  $O(|y_{1,t}^3|)$  для  $i = 2, 3, t = 0, 1, 2, \dots$ :

$$b_{i,2}(\alpha)(\lambda_1(\alpha)y_{1,t} + G_1(y_{1,t}, W(y_{1,t}), \alpha))^2 + b_{i,3}(\lambda_1(\alpha)y_{1,t} + G_1(y_{1,t}, W(y_{1,t}), \alpha))^3 - \\ - \lambda_i(\alpha)(b_{i,2}(\alpha)y_{1,t}^2(\alpha) + b_{i,3}(\alpha)y_{1,t}^3(\alpha) + \dots) - G_i(y_{1,t}, W(y_{1,t})) = O(|y_{1,t}^3|).$$

Для этого должно выполняться:

$$b_{i,2}y_{1,t}^2\lambda_1(\alpha) - \lambda_i(\alpha)b_{i,2}y_{1,t}^2 - G_{i,2}y_{1,t}^2 = 0.$$

Отсюда получим выражение для коэффициентов  $W(y_{1,t}, \alpha)$ :

$$b_{i,2}(\alpha) = \frac{G_{i,2}(\alpha)}{-1 - \lambda_i(\alpha)}, i = 2, 3,$$

где  $G_{i,2}(\alpha)$ —коэффициенты при квадратичных членах в разложении  $G_i(y_t, \alpha)$ . Наши преобразования привели уравнение (2.2.17) к виду:

$$y_{1,t+1}(\alpha) = \lambda_1(\alpha)y_{1,t}(\alpha) + (\psi'_{11})_1 y_{1,t}^2(\alpha) + ((\zeta'_{111})_1 + (\psi'_{12})_1 G_{2,2}(\alpha) \frac{1}{-1 - \lambda_2(\alpha)} + \\ + (\psi'_{13})_1 \frac{G_{3,2}(\alpha)}{-1 - \lambda_3(\alpha)}) y_{1,t}^3(\alpha) + \dots$$

Подставляя в последнее уравнение выражение для  $G_{2,2}(\alpha)$  и  $G_{3,2}(\alpha)$  из (2.2.16) можем записать итоговое уравнение для одномерного отображения Пуанкаре в виде

$$y_{1,t+1}(\alpha) = \lambda_1(\alpha)y_{1,t} + (\psi'_{11})_1 y_{1,t}^2(\alpha) + \tag{2.2.20} \\ + \left( (\zeta'_{111})_1 + (\psi'_{12})_1 (\psi'_{12})_2 \frac{1}{-1 - \lambda_2(\alpha)} + (\psi'_{13})_1 \frac{(\psi'_{12})_3}{-1 - \lambda_3(\alpha)} \right) y_{1,t}^3(\alpha) + \dots,$$

где  $t = 0, 1, 2, \dots$ , а коэффициенты  $\phi'_{11}, \phi'_{12}, \phi'_{13}, \zeta'_{111}$ —зависят от  $\alpha$ .

## 2.2.4. Проверка условий бифуркации удвоения периода

В предыдущих разделах мы получили одномерное отображение Пуанкаре и теперь можем провести проверку возникновения в системе бифуркации удвоения периода следуя предложению 2.1.1.

Для бифуркации удвоения периода, согласно [5], нам нужна следующая форма редуцированного отображения:

$$g(x, \alpha) = -x + a\alpha x + bx^2 + cx^3 + \dots$$

Используя (2.2.20) перепишем правую часть этого уравнения в таком виде

$$\lambda_1 x + (\psi'_{11})_1 x^2 + \left( (\zeta'_{111})_1 + (\psi'_{12})_1 (\psi'_{12})_2 \frac{1}{-1 - \lambda_2(\alpha)} + (\psi'_{13})_1 \frac{(\psi'_{12})_3}{-1 - \lambda_3} \right) x^3 + \dots,$$

где коэффициенты  $\lambda_1, \phi'_i, \psi'_{i,j}, \zeta'_{i,j,k}$  — зависят от  $\alpha$ , для любых  $i, j, k = 1, 2, 3$ .

Проверим условия бифуркации удвоения периода для редуцированного отображения Пуанкаре  $g(x, \alpha)$  которые были приведены в данной главе.

1. Наложим условие на параметр  $\alpha$  так, чтобы одно собственное число матрицы линейной части было  $\lambda_1(\alpha) = -1$ . Выражение для собственного числа мы можем получить из уравнения

$$\det(X_1(T, \alpha) - \lambda I_3) = 0,$$

где матрица  $X_1(t, \alpha)$  — решение (2.2.7). В последнее уравнение подставим вместо  $\lambda = -1$  и получим условие на  $\alpha$ .

2. Проверим условие  $a := \frac{\partial^2 g}{\partial x \partial \alpha}(0, 0) \neq 0$  из предположения 2.1.1. Имеем

$$\frac{\partial^2 g}{\partial x \partial \alpha}(0, 0) = \frac{\partial \lambda_1}{\partial \alpha}(0).$$

Так как в нашей системе при параметре  $\alpha_0 = 0$  возникает бифуркация Андронова-Хопфа, и выполняется  $\lambda'(\alpha_0) \neq 0$ , то в малой окрестности этого параметра тоже выполняется  $\lambda'(\alpha) \neq 0$ .

3. Чтобы проверить условие  $b = \frac{1}{2} \frac{\partial^2 g}{\partial x^2}(0, 0) \neq 0$  из предположения 2.1.1,

используем соотношение:

$$b = \frac{1}{2} \frac{\partial^2 g}{\partial x^2}(0, 0) = \frac{1}{2} (\psi'_{11}(T, 0, x_0))_1.$$

4. Чтобы проверить условие  $c = \frac{1}{3!} \frac{\partial^3 g}{\partial x^3}(0, 0) \neq 0$ , используем соотношение:

$$c = \frac{1}{6} \left( (\zeta'_{111})_1 + (\psi'_{12})_1 (\psi'_{12})_2 \frac{1}{-1 - \lambda_2(\alpha)} + (\psi_{13})_1 \frac{(\psi_{12})_3}{-1 - \lambda_3(\alpha)} \right) |_{\alpha=0}.$$

5. Проверим условие  $g(0, \alpha) = 0 \forall |\alpha| < \delta$ . Это верно, так как полином не имеет свободного члена.

*Замечание 2.2.3.* Для вычисления коэффициентов  $a, b, c$  требуется решить две системы дифференциальных уравнений. В книге [7] используется программный пакет AUTO для решения подобной задачи для близкой системе Ходжкина-Хаксли. Если данный программный продукт доступен, данные коэффициенты возможно вычислить по приведенному нами алгоритму, используя AUTO. В данной работе конкретное вычисление коэффициентов не было в центре внимания, так как вычисления трудоемки и интереснее было развить общую схему исследования системы Билера-Рейтера на наличие бифуркации удвоения периода.

## Глава 3

# Управление хаосом в модели проводящей системы сердца Билера–Рейтера

Разработка надежной динамической системы которая может оставаться в нужном состоянии, даже при изменении значений параметров системы очень важная задача. Так как изменение состояния системы происходит в силу бифуркаций, контроль бифуркационных параметров является ключевым для построения надежной системы. В данной главе предложен метод контроля максимального показателя Ляпунова.

### 3.1. Тип хаоса в модели Билера-Рейтера

В системе Билера–Рейтера в работе [8] было доказано наличие бифуркации Андронова-Хопфа. Также есть результаты о последующей бифуркации удвоения периода [19]. Как известно бифуркация удвоения периода приводит к рождению неустойчивого предельного цикла с периодом большим чем период предельного цикла при бифуркации Андронова-Хопфа. В [4] показано, что один из переходов к хаосу в трехмерных нелинейных системах обыкновенных дифференциальных уравнений осуществляется одним и тем же способом с использованием одних и тех же механизмов, а именно, через каскад бифуркаций удвоения периода циклов Фейгенбаума, затем через субгармонический каскад бифуркаций Шарковского рождения устойчивых циклов любого периода, и затем через гомоклинический каскад бифуркаций циклов, сходящихся к гомоклиническим контурам особых точек.

Именно с таким типом хаоса мы будем бороться в системе (1.0.3).

### 3.2. Использование максимального показателя Ляпунова для управления хаосом

Локальные бифуркации в системе с предельным циклом происходят, когда хотя бы один из мультипликаторов пересекает единичную окруж-

ность. Но вычисление мультипликаторов системы довольно трудоемко и требует много времени. В силу этого, стандартная процедура вычисления мультипликаторов и изменения бифуркационного параметра, в зависимости от них, не может быть использована.

В данной работе выбран другой метод изучения влияния управления на модель. Для предотвращения бифуркаций в системе воспользуемся методом, предложенным в [15], заключающийся в введении возмущения в один из коэффициентов системы (1.0.3) и постоянном контроле максимального показателя Ляпунова системы косога произведения и изменении параметра динамической системы в реальном времени.

### 3.3. Элементы теории коциклов

Определения и теоремы взяты из [5].

Пусть  $(Q, \rho_Q)$  – полное метрическое пространство с метрикой  $\rho_Q$ , а  $\mathbb{R}_+ = \{t \in \mathbb{R} | t \geq 0\}$ .

**Определение 3.3.1.** *Непрерывным базисным полупотоком называется  $(\{\vartheta^t\}_{t \in \mathbb{R}_+}, (Q, \rho_Q))$ , где непрерывное отображение  $\vartheta : \mathbb{R}_+ \times Q \rightarrow Q$ ,  $(t, q) \mapsto \vartheta(t, q) = \vartheta^t(q)$ , удовлетворяет условиям*

$$\vartheta^0 = id_Q \text{ и } \vartheta^{t+s} = \vartheta^t \circ \vartheta^s \text{ для всех } t, s \in \mathbb{R}_+.$$

**Определение 3.3.2.** *Пусть  $(N, \rho_N)$  – метрическое пространство. Пусть на множестве  $\mathbb{R}_+ \times Q \times N$  задано некоторое непрерывное отображение*

$$\psi : \mathbb{R}_+ \times Q \times N \rightarrow N, (t, q, w) \mapsto \psi^t(q, w). \quad (3.3.1)$$

*Тогда пара  $(\{\psi^t(q, \cdot)\}_{q \in Q, t \in \mathbb{R}_+}, (N, \rho_N))$  называется коциклом над базисным потоком  $(\{\vartheta^t\}_{t \in \mathbb{R}_+}, (Q, \rho_Q))$ , если отображение  $\psi$  удовлетворяет условиям:*

$$\psi^0(q, \cdot) = id_{Q \times N}, \forall q \in Q \text{ и } \psi^{t+s}(q, w) = \psi^t(\vartheta^s(q), \psi^s(q, w)) \text{ } t, s \geq 0, \forall q \in Q.$$

Обозначим через  $W = Q \times N$  – прямое произведение пространств. Зададим на  $W$  структуру метрического пространства: определим метрику  $\rho_W$  для любых  $(q, w), (q', w') \in W$  например как

$$\rho_W((q, w), (q', w')) = \sqrt{\rho_Q(q, q')^2 + \rho_N(w, w')^2}.$$

**Определение 3.3.3.** Полупотоком системы косо го произведения  $\vartheta, \psi$  над прямым произведением пространств  $W = Q \times N$  называют пару

$$(\{S^t\}_{t \in \mathbb{R}_+}, (W, \rho_W),$$

$$S : \mathbb{R}_+ \times W \rightarrow W, (t, q, w) \mapsto (\vartheta^t(q), \psi^t(q, w)), \quad (3.3.2)$$

где отображение  $S^t$ , где  $t > 0$ , непрерывно для любых  $(q, w) \in W = Q \times N$ . Полупоток линейный, если  $S^t(q, w)$  линейно по  $w$  для каждой  $(t, q) \in \mathbb{R}_+ \times Q$ .

Теперь можем перейти к определению верхнего показателя Ляпунова. Допустим полупоток регулярен, то есть отображение  $S$  дифференцируемо по  $w$  и  $\frac{\partial}{\partial w} \psi^t(q, w) = D_2 \psi^t(q, w)$  непрерывна для всех  $t > 0, q \in Q, w \in N$ , также, это означает непрерывность в  $t = 0$  линейного дифференциального оператора, а именно для каждого  $p \in N \lim_{t \rightarrow 0+} D_2 \psi^t(q, w)p = p$  для  $\forall (q, w) \in Q \times N$ .

Если  $\mathcal{K} \subset W$  компактное положительно инвариантное множество, то *линеаризованным полупотоком* (3.3.2) определенным на  $\mathcal{K} \times N$  называется

$$L : \mathbb{R}_+ \times \mathcal{K} \times N \rightarrow \mathcal{K} \times N \quad (3.3.3)$$

$$(t, (q, w), p) \mapsto (S^t(q, w), D_2 \psi^t(q, w)p).$$

Тогда  $D_2 \psi^t(q, w)$  удовлетворяет условиям коцикла:

$$D_2 \psi^{t+s}(q, w) = D_2 \psi^t(S^s(q, w)) D_2 \psi^s(q, w), t, s \in \mathbb{R}_+, (q, w) \in \mathcal{K}.$$

**Определение 3.3.4.** Максимальный показатель Ляпунова в точке  $(q, w) \in \mathcal{K}$  для коцикла (3.3.1)

$$\nu(q, w) = \limsup_{t \rightarrow +\infty} \frac{\ln \|D_2 \psi^t(q, w)\|}{t} = \limsup_{t \rightarrow +\infty} \frac{\ln \sigma_1(D_2 \psi^t(q, w))}{t},$$

где  $\sigma_i(D_2 \psi^t(q, w))$  – сингулярные числа матрицы  $D_2 \psi^t(q, w)$  системы (3.3.3). Максимальной показатель Ляпунова системы (3.3.3) на множестве  $\mathcal{K}$ :

$$\nu_{\mathcal{K}} = \sup_{(q, w) \in \mathcal{K}} \nu(q, w).$$

В определении использовано понятие сингулярных чисел, которое можно найти в книге [5].

### 3.4. Диссипативность системы Билера-Рейтера

Прежде чем строить коцикл и получать критерий устойчивости системы (1.0.3) с возмущением в параметре  $\sigma_{nab}(t) = q(t)$ , докажем, что система диссипативна, и, следовательно, имеет решения продолжимые на  $\mathbb{R}_+$ .

**Теорема 3.4.1.** Система (1.0.3) с возмущением, которая имеет вид

$$\begin{cases} -C\dot{v} = q(t)(v - v_{Na}) + \sigma_{Ca}dn(v - v_{Ca}) + I_{k_1}(v), \\ \dot{d} = g_1(v)(1 - d) - g_2(v)d, \\ \dot{n} = f_1(v)(1 - n) - f_2(v)n, \end{cases} \quad (3.4.1)$$

$$g_1(v) = \frac{0.095e^{-0.01(v-5)}}{e^{-0.72(v-5)} + 1}, \quad g_2(v) = \frac{0.07e^{-0.017(v+44)}}{e^{0.05(v+44)} + 1},$$

$$f_1(v) = \frac{0.012e^{-0.008(v+28)}}{e^{0.15(v+28)} + 1}, \quad f_2(v) = \frac{0.0065e^{-0.02(v+30)}}{e^{-0.2(v+30)} + 1},$$

$$d, n \in \mathbb{R}, \quad v \in \mathbb{R} \setminus \{-23\}, \quad t \geq 0,$$

где  $I_{k_1}$  — как в (1.0.1), диссипативна на многообразии

$$\forall t \geq 0 \quad d(t), n(t) \in (0, 1);$$

$$v(t) < v_{Ca} + \frac{v_{Na} - v_{Ca}a - 0.35P_1(v)}{a + \sigma_{Ca}d(t)n(t) + \frac{0.07}{1 - e^{-0.04(v+23)}}}, \quad \text{если } v(t) > \sqrt{2} \text{ и}$$

$$v(t) < v_{Ca} + \frac{(v_{Na} - v_{Ca}a + 0.35\sigma_K P_1(v))}{a - \sigma_{Ca}d(t)n(t) - \frac{0.07}{1 - e^{-0.04(v+23)}}}, \quad \text{если } v(t) < -\sqrt{2}, t > 0\},$$

$$\text{где } P_1(v) = \left( 4 \frac{e^{0.04(v+85)} - 1}{e^{0.08(v+53)} + e^{0.04(v+53)}} + 0.2 \frac{80+23}{1 - e^{-0.04(v+23)}} \right),$$

при выполнении следующих условий:

$$1) \sigma_{Ca}, C, v_K, v_{Na}, \sigma_K > 0;$$

2) Функция  $|q(t)| < a$  — равномерно ограничена и равностепенно непрерывна для  $t \geq 0$ .

*Доказательство.* Доказательство будем проводить по методу функции Ляпунова. Рассмотрим функцию Ляпунова

$$V(v, d, n) := \frac{1}{2} (v^2 - d^2 - n^2).$$

Для того чтобы она была положительно определена следует брать  $v^2 > d^2 + n^2$ — это первое условие на переменные  $v, d, n$ .

Пусть  $(v(t), d(t), n(t))$ —произвольное решение системы (3.4.1). Посчитаем и оценим производную  $V$  в силу системы:

$$\begin{aligned} \dot{V}(v(t), d(t), n(t)) &= v(t)\dot{v}(t) - d(t)\dot{d}(t) - n(t)\dot{n}(t) = & (3.4.2) \\ &= v(t)\dot{v}(t) - d(t)(g_1(v)(1 - d(t)) - g_2(v)) - n(t)(f_1(v)(1 - n(t)) - f_2(v)). \end{aligned}$$

Разделим выражение (3.4.2) на две части:

$$\begin{aligned} & - \frac{v(t)}{C} (\sigma_{nab}(t)(v(t) - v_{Na}) + \sigma_{Ca}d(t)n(t)(v(t) - v_{Ca}) + & (3.4.3) \\ & + 0.35 \left( 4 \frac{e^{0.04(v(t)+85)} - 1}{e^{0.08(v(t)+53)} + e^{0.04(v(t)+53)} + 0.2 \frac{v(t) + 23}{1 - e^{-0.04(v(t)+23)}} \right) ) \end{aligned}$$

и

$$- (d(t)(g_1(v)(1-d(t))-g_2(v)d(t)) + n(t)(f_1(v)(1-n(t))-f_2(v)n(t))). \quad (3.4.4)$$

Оценим для начала вторую часть, для этого перепишем ее в виде

$$\begin{aligned} & -(- (g_1(v(t)) + g_2(v(t)))d(t)^2 + g_1(v(t))d(t) - (f_1(v(t)) + f_2(v(t)))n(t)^2 + \\ & + f_1(v(t))n(t)) = (g_1(v(t)) + g_2(v(t))) \left( d(t)^2 - \frac{g_1(v(t))d(t)}{(g_1(v(t)) + g_2(v(t)))} \right) + \\ & + (f_1(v(t)) + f_2(v(t))) \left( n(t)^2 - \frac{f_1(v(t))n(t)}{(f_1(v(t)) + f_2(v(t)))} \right). \end{aligned}$$

Найдем условия, при которых это выражение отрицательно. Рассмотрим функции  $(f_1(v) + f_2(v))$ ,  $(g_1(v) + g_2(v))$ . Обе функции строго положительны и не имеют точек пересечения с осью. Поэтому далее рассмотрим функции  $F_1(t) = \left( d^2(t) - \frac{g_1(v(t))d(t)}{(g_1(v(t))+g_2(v(t)))} \right)$ ,  $F_2(t) = \left( n^2(t) - \frac{f_1(v(t))n(t)}{(f_1(v(t))+f_2(v(t)))} \right)$  —они должны быть отрицательны, чтобы (3.4.4) была отрицательна.

Найдем точку минимума. Для этого найдем производную по  $d$  функции  $F_1(t)$  и приравняем к нулю:

$$\frac{\partial}{\partial d} (F_1(t)) = 2d(t) - \frac{g_1(v(t))}{(g_1(v(t)) + g_2(v(t)))} = 0.$$



Найдем корень этого уравнения:

$$d(t) = \frac{g_1(v(t))}{2(g_1(v(t)) + g_2(v(t)))} > 0, \forall v(t) \in \mathbb{R} \setminus \{-23\}, t \geq 0.$$

Заметим, что корень один и это точка минимума. Посчитаем значение  $F_1(t)$  в этой точке

$$\frac{g_1^2(v(t))}{4(g_1(v(t)) + g_2(v(t)))^2} - \frac{g_1^2(v(t))}{2(g_1(v(t)) + g_2(v(t)))^2} = -\frac{g_1^2(v(t))}{4(g_1(v(t)) + g_2(v(t)))^2}$$

значение отрицательное. Для того, чтобы определить промежуток на котором  $F_1(t)$  отрицательна, найдем точки ее пересечения с осью:

$$d(t) = 0, \quad d(t) = \frac{g_1(v(t))}{(g_1(v(t)) + g_2(v(t)))} = \psi(v(t)).$$

Отсюда получим

$$0 < d(t) < \psi(v(t)).$$

Второй корень мы рассмотрим как функцию обозначенную  $\psi(v(t))$ . Ищем ее точки экстремума, приравняв производную к нулю. Используя программу Mathematica получим, что все корни комплексные. Для оценки интервала, где парабола отрицательна, найдем пределы функции  $\psi(v(t))$  при  $v(t) \rightarrow \pm\infty$ . Так для  $v(t) \rightarrow +\infty$  предел равен 1, а для  $v(t) \rightarrow -\infty$  равен 0. Таким образом первая часть функции (3.4.4) отрицательна на  $d(t) \in (0, 1), v(t) \in \mathbb{R} \setminus \{-23\}, t \geq 0$ .

Вторая часть (3.4.4) исследуется аналогичным образом. Функция  $F_2(t)$  отрицательна на промежутке

$$0 < n(t) < \frac{f_1(v(t))}{(f_1(v(t)) + f_2(v(t)))} = \phi(v(t))$$

и функция  $\phi(v(t))$  имеет пределы значений 0, 1. Следовательно вторая часть (3.4.4) отрицательна на  $n(t) \in (0, 1), v(t) \in \mathbb{R} \setminus \{-23\}, t \geq 0$ .

Что касается (3.4.3), известно, что функция  $|q(t)| < a \forall t \geq 0$ , поэтому

достаточно получить неравенство

$$-\frac{v(t)}{C} (a(v(t) - v_{Na}) + \sigma_{Ca}d(t)n(t)(v(t) - v_{Ca}) + \\ + 0.35 \left( 4 \frac{e^{0.04(v(t)+85)} - 1}{e^{0.08(v(t)+53)} + e^{0.04(v(t)+53)} + 0.2 \frac{v(t) + 23}{1 - e^{-0.04(v(t)+23)}} \right) < 0.$$

1. Предположим  $v(t) < 0, t \geq 0$ , тогда

$$(a(v(t) - v_{Na}) + \sigma_{Ca}d(t)n(t)(v(t) - v_{Ca}) + \\ + 0.35 \left( 4 \frac{e^{0.04(v(t)+85)} - 1}{e^{0.08(v(t)+53)} + e^{0.04(v(t)+53)} + 0.2 \frac{v(t) + 23}{1 - e^{-0.04(v(t)+23)}} \right)$$

должна быть отрицательна. Проведем ряд преобразований и получим

$$v(t) < \frac{(v_{Na} - \sigma_{Ca}d(t)n(t)v_{Ca} + 0.35\sigma_K P_0(v(t)))}{a - \sigma_{Ca}d(t)n(t) - \frac{0.07}{1 - e^{-0.04(v+23)}}},$$

$$P_0(v) = \left( 4 \frac{e^{0.04(v+85)} - 1}{e^{0.08(v+53)} + e^{0.04(v+53)} + 0.2 \frac{23}{1 - e^{-0.04(v+23)}} \right),$$

с учетом того, что знаменатель не ноль. В правой части можем выделить целую часть и избавиться от слагаемого с  $d(t)n(t)$  в числителе:

$$v(t) < v_{Ca} + \frac{(v_{Na} - v_{Ca}a + 0.35\sigma_K P_1(v(t)))}{a - \sigma_{Ca}dn - \frac{0.07}{1 - e^{-0.04(v+23)}}, t \geq 0,$$

$$P_1(v) = \left( 4 \frac{e^{0.04(v+85)} - 1}{e^{0.08(v+53)} + e^{0.04(v+53)} + 0.2 \frac{103}{1 - e^{-0.04(v+23)}} \right).$$

Также, имея информацию о поведении  $d(t), n(t)$  можно найти минимум правой части и таким образом найти верхнюю границу для  $v(t)$ .

2. Предположим  $v > 0$ : тогда выражение в скобках из (3.4.4) должно быть больше нуля. Перенесем члены с  $v(t)$  в одну сторону, а члены с экспонентой от  $v(t)$  — в другую. Оценив при этом функцию как  $q(t) > -a$ , получим неравенство:

$$v(t) < v_{Ca} + \frac{v_{Na} - v_{Ca}a - 0.35P_1(v)}{a + \sigma_{Ca}d(t)n(t) + \frac{0.07}{1 - e^{-0.04(v(t)+23}}}, t \geq 0,$$

при условии, что знаменатель не обращается в ноль.

Можем также оценить  $v(t)$ , зная пределы для  $d(t), n(t)$ . Для этого правую часть неравенства  $v(t)^2 > d(t)^2 + n(t)^2$  для всех  $t \geq 0$  заменим на супремум на  $d, n \in (0, 1)$ . Получим оценку

$$v(t)^2 > 2.$$

Если последнее неравенство выполняется, то функция Ляпунова (3.4.2) отрицательна.

Получаем, что система диссипативна и область диссипативности

$$\mathcal{K} := \{d(t), n(t) \in (0, 1), v(t) \neq -23\},$$

$$v(t) < v_{Ca} + \frac{v_{Na} - v_{Ca}a - 0.35P_1(v)}{a + \sigma_{Ca}d(t)n(t) + \frac{0.07}{1 - e^{-0.04(v+23)}}, \text{ если } v(t) > \sqrt{2}$$

$$\text{и } v(t) < v_{Ca} + \frac{(v_{Na} - v_{Ca}a + 0.35\sigma_K P_1(v))}{a - \sigma_{Ca}d(t)n(t) - \frac{0.07}{1 - e^{-0.04(v+23)}}, \text{ если } v(t) < -\sqrt{2}, t > 0\}.$$

Значит любое решение (3.4.1) внутри  $\mathcal{K}$  можно продлить на  $\mathbb{R}_+$  и система диссипативна.  $\square$

*Замечание 3.4.2.* 1) Далее можно показать, что существуют  $v_0 < v_1$  такие, что область диссипативности можно представить в виде

$$\mathcal{K} = \{(v(t), d(t), n(t)) \mid d(t), n(t) \in (0, 1), v(t) \in (v_0, v_1) \setminus \{-23\}, \forall t \geq 0\}.$$

2) Для уточнения области диссипативности можно использовать несколько функций Ляпунова и для каждой искать условия положительной определенности и отрицательности производной. Область диссипативности в этом случае есть пересечение областей, полученных для каждой функции.

## 3.5. Построение системы расширения для системы Билера–Рейтера

Все необходимые в данном разделе определения можно найти в [6, 10, 5]. В данной работе рассматриваются следующие типы функций управ-

ления: рекуррентные и почти периодические. Определения таких классов функций даны в [6]. Данные типы функций обладают важными свойствами: ограниченностью и множество функций таких типов есть полное пространство в смысле топологии равномерной сходимости и есть замкнутое подпространство пространства ограниченных функций. Отсюда, при построении оболочки  $Q = \mathcal{H}(f) := \overline{\{f(\cdot + t, \cdot), t \geq 0\}}$ , где замыкание берется в данной топологии, мы не выйдем за рамки класса рассматриваемых функций. Обозначим множество допустимых функций управления  $Q$ .

Для построения системы расширения для системы дифференциальных уравнений (1.0.3) прежде нужно построить коцикл. Общая процедура построения коцикла над потоком Бебутова на оболочке  $\mathcal{H}$  для системы с введенной функцией управления  $q \in Q$

$$\dot{u} = f(t, u), \quad (3.5.1)$$

где  $f : \mathbb{R}_+ \times \mathbb{R}^n \rightarrow \mathbb{R}^n$  — гладкое отображение, удовлетворяющее условиям теоремы Векмана, описана в [6].

Существование глобального коцикла доказывалось на основе теоремы Векмана. Из нее были получены условия существования глобального коцикла для конкретной задачи. Если использовать эту процедуру, тогда для системы (1.0.3) с введенным в нее управлением  $q \in Q$  справедлива теорема.

**Теорема 3.5.1.** *Пусть функция управления  $q \in Q$  ограничена и равномерно непрерывна.*

*Тогда для любых значений параметров  $\sigma_{Ca}, C, v_{Ca}, v_{Na} > 0$  система (3.5.1) порождает глобальный коцикл  $(\{\psi^t(q, \cdot)\}_{t \in \mathbb{R}, q \in \mathcal{H}}, (\mathcal{K}, \|\cdot\|))$  над потоком Бебутова  $(\{\vartheta^t\}_{t \in \mathbb{R}}, (\mathcal{H}, \rho_{\mathcal{H}}))$  на оболочке, где  $\mathcal{K} \subset \mathbb{R}^3$  рассматривается как топологическое пространство с индуцированной из  $\mathbb{R}^3$  топологией и метрикой.*

*Доказательство.* Так как в разделе 3.4 была доказана диссипативность системы относительно области  $\mathcal{K}$ , то глобальный коцикл существует внутри области  $\mathcal{K}$  в силу теоремы Векмана.  $\square$

Так было доказано, что система порождает глобальный коцикл над

базисным потоком  $(\{\vartheta^t\}_{t \in \mathbb{R}}, (\mathcal{H}, \rho_{\mathcal{H}}))$ , который имеет вид

$$\dot{u}(t) = \hat{f}(\vartheta^t(q), u), \quad q \in Q \quad (3.5.2)$$

$$u \in \mathcal{K}, t \geq 0,$$

где  $\hat{f}$ - отображение взятия значения, описанное в [6], и пусть  $\psi^t(q, u_0) = u(t, u_0, q)$  –решение системы из этого семейства с начальными данными  $u(0, u_0, q) = u_0$ .

Для такого базового потока и коцикла системы дифференциальных уравнений (1.0.3) построим систему расширения на оболочку  $\mathcal{H}$  :

$$S : \mathbb{R}^+ \times Q \times \mathcal{K} \rightarrow Q \times \mathcal{K},$$

$$(t, q, w) \mapsto (\vartheta^t(q), \psi^t(q, u_0)),$$

где  $\psi^t(q, u_0) = u(t, u_0, q)$ ,  $t \geq 0$ .

Теперь построим линеаризацию системы (3.5.2). Для этого зафиксируем  $(q, u_0) \in Q \times \mathcal{K}$  и обозначим через  $z(t, z_0)$  решение линейного дифференциального уравнения в вариациях с начальным условием  $z(0, z_0) = z_0$

$$\dot{z} = D_2 f(\psi^t(q, u_0), q)z, \quad z(0, z_0) = z_0. \quad (3.5.3)$$

Нетрудно понять, что  $D_2 \psi^t(q, u_0)z_0 = z(t, z_0)$  для каждого  $t \geq 0$ . Значит фундаментальной матрицей системы (3.5.3) является  $D_2 \psi^t(q, u_0)$ .

В [15] была сформулирована теорема об устойчивости системы в терминах макисмального показателя Ляпунова линеаризованной системы расширения, определение которого приведено в этом же источнике.

Поэтому для проверки устойчивости нам нужно вычислить максимальный показатель Ляпунова, но данное вычисление трудоемко. Одновременно с максимальным показателем Ляпунова используем сингулярные числа, которые гораздо удобнее вычислять. Оценим их как описано в [6] и интерпретируем результат для коциклов.

**Теорема 3.5.2.** *Пусть имеется коцикл над потоком Бебутова (3.5.2). По нему построена линеаризованная система (3.5.3) с фундаментальной мат-*

рицей  $D_2\psi^t(q, u_0)$ . Пусть

$$\sigma_1(\vartheta(q), \psi^t(q, u_0)) \geq \sigma_2(\vartheta^t(q), \psi^t(q, u_0)) \geq \dots \geq \sigma_n(\vartheta^t(q), \psi^t(q, u_0))$$

– упорядоченные сингулярные числа фундаментальной матрицы ,

$$\lambda_1(\vartheta^t(q), \psi^t(q, u_0)) \geq \lambda_2(\vartheta^t(q), \psi^t(q, u_0)) \geq \dots \lambda_n(\vartheta^t(q), \psi^t(q, u_0)) –$$

собственные числа симметризованной матрицы  $\frac{1}{2} \left( \hat{J}(t, u_0) + \hat{J}^T(t, u_0) \right)$ ,

где  $\hat{J}(t, u_0) = \hat{J}(\vartheta^t(q), \psi^t(q, u_0)) = D_2\hat{f}(\vartheta^t(q), \psi^t(q, u_0))$ .

Обозначим для краткости для всех  $i = 1, 2, \dots, n, t \geq 0$

$$\lambda_i(\vartheta^t(q), \psi^t(q, u_0)) = \lambda_i(t, u_0), \quad \sigma_i(\vartheta^t(q), \psi^t(q, u_0)) = \sigma_i(t, u_0).$$

Тогда для  $k = 1, 2, \dots, n$

$$\sigma_1(t, u_0)\sigma_2(t, u_0) \cdots \sigma_k(t, u_0) \leq \exp \int_0^t (\lambda_1(s, u_0) + \dots + \lambda_k(s, u_0)) ds.$$

### 3.6. Критерий устойчивости системы Билера–Рейтера

Используя результаты полученные в [15] получим критерий устойчивости для системы (1.0.3), который заключается в следующем.

**Теорема 3.6.1.** (Критерий устойчивости) Пусть:

1) Система (3.4.1) с функцией управления  $q \in Q$  диссипативна в области  $\mathcal{K}$ , построен коцикл (3.5.2) и его линеаризация (3.5.3).

2) Задано  $\sigma_1(D_2\psi^t(q, w))$  – максимальное сингулярное число фундаментальной матрицы  $D_2\psi^t(q, w)$  системы (3.5.3) в произвольной точке  $t > 0, q \in Q, w \in \mathcal{K}$ .

Тогда при условии

$$\sup_{(q,w) \in Q \times \bar{\mathcal{K}}, t > 0} \sigma_1(D_2\psi^t(q, w)) < 1$$

система (3.4.1) равномерно экспоненциально устойчива в области  $\mathcal{K}$ .

*Замечание 3.6.2.* Вместо условия на максимальное сингулярное число матрицы  $D_2\psi^t(q, w)$  системы (3.5.3) в теореме 3.6.1 можно использовать условие  $\nu_{\mathcal{K}} < 0$ , где  $\nu_{\mathcal{K}}$  – максимальный показатель Ляпунова системы (3.5.3) на множестве  $\mathcal{K}$ .

*Доказательство.* Свойство диссипативности доказано в разделе 3.4. Утверждение теоремы вытекает из применения теоремы полученной в [15] с использованием оценок максимального показателя Ляпунова системы (3.5.3) на множестве  $\mathcal{K}$ .  $\square$

Ниже представлены достаточные условия на функцию управления для выполнения условий теоремы 3.6.1.

**Теорема 3.6.3.** Пусть задана линеаризация системы (3.5.3) на произведении  $Q \times \bar{\mathcal{K}}$

$$\dot{z} = D_2\hat{f}(\psi^t(q, w), q)z, \quad z(0, z_0) = z_0.$$

Пусть далее для всех  $q \in Q, w \in \mathcal{K}$

$$\lambda_1(\vartheta^t(q), \psi^t(q, w)) \geq \lambda_2(\vartheta^t(q), \psi^t(q, w)) \geq \dots \geq \lambda_n(\vartheta^t(q), \psi^t(q, w)) –$$

собственные числа симметризованной матрицы Якоби

$$\frac{1}{2} \left( \hat{J}(t, w) + \hat{J}^T(t, w) \right),$$

$$\hat{J}(t, w) = \hat{J}(\vartheta^t(q), \psi^t(q, w)) = D_2\hat{f}(\vartheta^t(q), \psi^t(q, w)).$$

Кроме того, пусть для всех компонент  $v(t), d(t), n(t)$  решения системы (1.0.3) в области диссипативности  $\mathcal{K}$  выполнены условия:

$$\begin{cases} -0.35I_1(v(t)) < q(t); \\ \frac{C}{4} \left( \frac{(\frac{\sigma C_a(v(t)+2.1534-vC_a)(n(t)-2.6637)}{C} - g_1(v(t)))^2}{g_1(v(t))+g_2(v(t))} \right) - 0.35I_1(v(t)) < q(t); \\ \frac{I_2(v(t), d(t), n(t))C}{4(f_1(v(t))+f_2(v(t)))(g_1(v(t))+g_2(v(t)))v(t)^2} - 0.35I_1(v(t)) < q(t); \end{cases}$$

$$I_1(v) = -\frac{4 \left( 0.04e^{0.04(v+53)} + 0.08e^{0.08(v+53)} \right) \left( e^{0.04(v+85)} - 1 \right)}{\left( e^{0.04(v+53)} + e^{0.08(v+53)} \right)^2} +$$

$$\begin{aligned}
& + \frac{0.2}{1 - e^{-0.04(v+23)}} - \frac{0.008e^{-0.04(v+23)}(v + 25.1534)}{(1 - e^{-0.04(v+23)})^2} + \frac{0.16e^{0.04(v+85)}}{e^{0.04(v+53)} + e^{0.08(v+53)}}, \\
I_2(v, d, n) & = (g_1(v) + g_2(v))v \left( (n-1)f_1(v) + nf_2(v) + \frac{\sigma_{ca}d(v - v_{Ca})}{C} \right)^2 + \\
& + ((1-d)g_1(v) - g_2d(v))(f_1(v) + f_2(v))v - \frac{2n\sigma_{Ca}v}{C}(v - v_{Ca})(f_1(v) + f_2(v)) \times \\
& \quad \times ((1-d)g_1(v) - g_2(v)d) + \frac{n^2\sigma_{Ca}^2v(v-80)^2(f_1 + f_2)}{C^2}.
\end{aligned}$$

где  $t \geq 0$ , константы  $\sigma_{Ca}, \sigma_K, C, v_{Na}, v_{Ca} > 0$ .

Тогда максимальное собственное число  $\lambda_1(\vartheta^t(q), \psi^t(q, w))$  отрицательно для всех  $t > 0, q \in Q, w \in \mathcal{K}$ .

*Доказательство.* Для начала рассмотрим матрицу  $A = \{a_{i,j}\}_{i,j=1}^3$  с  $a_{23} = 0$  и  $a_{32} = 0$ , как и у матрицы Якоби системы (3.5.3), и рассмотрим ее симметризацию:

$$B := \frac{1}{2}(A + A^T) = \begin{pmatrix} a_{11} & \frac{a_{12}+a_{21}}{2} & \frac{a_{13}+a_{31}}{2} \\ \frac{a_{12}+a_{21}}{2} & a_{22} & 0 \\ \frac{a_{13}+a_{31}}{2} & 0 & a_{33} \end{pmatrix}.$$

Для того, чтобы максимальное собственное число матрицы было отрицательно воспользуемся критерием Рауса–Гурвица для характеристического полинома матрицы  $B$ :

$$\begin{aligned}
\chi_B(\lambda) & = \frac{1}{8}\lambda(-8a_{11}a_{22} - 8a_{11}a_{33} + 2(a_{12} + a_{21})^2 + 2(a_{13} + a_{31})^2 - 8a_{22}a_{33}) + \\
& + \frac{1}{8}(8a_{11}a_{22}a_{33} - 2a_{33}(a_{12} + a_{21})^2 - 2a_{22}(a_{13} + a_{31})^2) + \frac{1}{8}\lambda^2(8a_{11} + 8a_{22} + 8a_{33}) - \\
& \quad - \lambda^3 =: b_3\lambda^3 + b_2\lambda^2 + b_1\lambda + b_0.
\end{aligned}$$

Для полиномов третьего порядка критерий Рауса–Гурвица имеет вид:  $b_i < 0, i = 0, \dots, 3$  и  $b_1b_2 - b_0b_3 > 0$ . Из этих условий можем получить систему условий на коэффициенты матрицы  $A$ . После некоторых преобразований



они выглядят следующим образом:

$$\begin{cases} a_{ii} < 0; & i = 1, 2, 3; \\ |a_{12} + a_{21}| < 2\sqrt{a_{11}a_{22}}; \\ |a_{13} + a_{31}| < \sqrt{\frac{4a_{11}a_{22}a_{33} - a_{21}^2a_{33} - 2a_{12}a_{21}a_{33} - a_{12}^2a_{33}}{a_{22}}}. \end{cases} \quad (3.6.1)$$

Теперь перейдем конкретно к матрице системы (3.5.3). Для нее условия  $a_{ii} < 0$  выполняются для всех  $i = 2, 3$  в области диссипативности  $\mathcal{K}$ . Остается проверить остальные условия и найти таким образом ограничения на функцию управления  $q(t)$ .

Итак, первое условие  $a_{11} < 0$  для линеаризации над косым произведением (3.5.3) для всех компонент  $v(t), d(t), n(t)$  решения системы (1.0.3) в области диссипативности  $\mathcal{K}$  выглядит как:

$$\begin{aligned} & -\sigma_{Ca}d(t)n(t) - 0.35I_1(v(t)) < q(t), \quad \forall t \geq 0 \\ I_1(v) = & -\frac{4(0.04e^{0.04(v+53)} + 0.08e^{0.08(v+53)})(e^{0.04(v+85)} - 1)}{(e^{0.04(v+53)} + e^{0.08(v+53)})^2} + \\ & + \frac{0.2}{1 - e^{-0.04(v+23)}} - \frac{0.008e^{-0.04(v+23)}(v + 25.1534)}{(1 - e^{-0.04(v+23)})^2} + \\ & + \frac{0.16e^{0.04(v+85)}}{e^{0.04(v+53)} + e^{0.08(v+53)}}. \end{aligned}$$

В левой части неравенства супремум по  $d(t), n(t) \in \mathcal{K}$  достигается при  $d(t) = n(t) = 0, t > 0$ :

$$-0.35\sigma_K I_1 < q(t), \quad \forall t > 0.$$

Второе условие из (3.6.1) — это  $|a_{12} + a_{21}| < 2\sqrt{a_{11}a_{22}}$ . При подстановке элементов симметризованной матрицы Якоби вместо  $a_i$ , получим для любого  $t > 0$

$$\begin{aligned} & |(d(t) - 1)g_1(v(t)) + d(t)g_2(v(t)) + \frac{\sigma_{Ca}(v(t) - v_{Ca})n(t)}{C}| < \\ & < \frac{2\sqrt{I_2(v(t), d(t), n(t), t)}}{\sqrt{C}}, \end{aligned}$$

$$I_2(v, d, n, t) = v(t)(g_1(v(t)) + g_2(v(t)))(-q(t) - \sigma_{Ca}n(t)d(t) - 0.35I_1(v(t))),$$

где  $I_1(v)$  как и выше. Группируя слагаемые не содержащие  $q(t)$  в одной стороне, остальные в другой, возведя обе части в квадрат и проводя анализ подобно тому, как это делалось в первом пункте, приведем сразу полученный результат для данного пункта для всех  $v(t), d(t), n(t) \in \mathcal{K}, t > 0$ :

$$\frac{C}{4v(t)} \left( \frac{\frac{(\sigma_{Ca}(v(t)-v_{Ca})n(t))}{C} - (1 - g_1(v(t)))^2}{g_1(v(t)) + g_2(v(t))} \right) - 0.35I_1(v(t)) < q(t), t \geq 0.$$

Последнее из условий (3.6.1) дает нам еще одни условия на функцию управления для всех  $v(t), d(t), n(t) \in \mathcal{K}, t > 0$ :

$$\begin{aligned} |(n(t) - 1)f_1(v(t)) + n(t)f_2(v(t)) + \frac{\sigma_{ca}d(t)(v(t) - v_{Ca})}{C}| < \\ < \frac{\sqrt{Q(v(t), d(t), n(t))}}{\sqrt{-v(t)(g_1(v(t)) + g_2(v(t)))}}, \end{aligned}$$

$$\begin{aligned} Q(v, d, n) = & ((1 - d)g_1(v) - g_2d(v))(f_1(v) + f_2(v))v + \\ & + \frac{4}{C}(f_1(v) + f_2(v))(g_1(v) + g_2(v))v^2(-I(v)) - \\ & - \frac{2}{C}n((1 - d)g_1 - g_2d)\sigma_{Ca}v(v - v_{Ca})(f_1 + f_2) + \frac{n^2\sigma_{Ca}^2v(v - 80)^2(f_1 + f_2)}{C^2}. \end{aligned}$$

Отсюда получим последнее условие на функцию  $q(t)$ :

$$\frac{(I_2(v(t), d(t), n(t)))C}{(f_1(v(t)) + f_2(v(t)))(g_1(v(t)) + g_2(v(t)))v(t)^2} - d(t)n(t)\sigma_{Ca} - 0.35I_1(v(t)) < q(t),$$

$$\begin{aligned} 4I_2(v, d, n) = & (g_1(v) + g_2(v))v \left( (n - 1)f_1(v) + nf_2(v) + \frac{\sigma_{ca}d(v - v_{Ca})}{C} \right)^2 + \\ & ((1 - d)g_1(v) - g_2d(v))(f_1(v) + f_2(v))v - \frac{2n\sigma_{Ca}v}{C}(v - v_{Ca})(f_1(v) + f_2(v)) \times \\ & \times ((1 - d)g_1(v) - g_2(v)d) + \frac{n^2\sigma_{Ca}^2v(v - 80)^2(f_1 + f_2)}{C^2}, v(t), d(t), n(t) \in \mathcal{K}, t > 0. \end{aligned}$$

Так получили все требуемые неравенства.  $\square$

*Замечание 3.6.4.* Множество управлений, при которых система (3.4.1) стабилизируется, не пусто. Так, например, при стандартных значениях коэффициентов модели  $\sigma_{Ca} = 0.09$ ,  $C = 1$ ,  $v_{Na} = 40$ ,  $v_{Ca} = 80$ , и  $q \in Q$  получаем оценку  $|\sigma_{nab}(t)| = |q(t)| < 0.006993$ ,  $t > 0$ , при которых система (3.5.3) устойчива. В множестве  $Q$  допустимых управлений содержатся рекуррентные и почти периодические функции. Среди таких типов всегда находятся функции, отвечающие ограничениям, при которых система устойчива по Ляпунову.

При использовании условий из леммы 3.6.3, получим, что собственные числа симметризованной матрицы Якоби  $\frac{1}{2} \left( \hat{J}(t, w) + \hat{J}^T(t, w) \right)$ , где  $\hat{J}(t, w) = \hat{J}(\vartheta^t(q), \psi^t(q, w)) = D_2 \hat{f}(\vartheta^t(q), \psi^t(q, w))$ , системы (3.5.3) отрицательны. В силу того, что по теореме 3.5.2 максимальное сингулярное число оценивается как

$$\sigma_1(t, w) \leq \exp \int_0^t \lambda_1(\vartheta^s(q), \psi^s(q, w)) ds, \quad t > 0,$$

получаем, что сингулярное число меньше единицы. Отсюда следует, что максимальный показатель Ляпунова (см.[15]) в любой точке  $(q, w) \in \mathcal{K}$  для коцикла (3.5.2)

$$\nu(q, w) = \limsup_{t \rightarrow +\infty} \frac{\ln \sigma_1(\vartheta^t(q), \psi^t(q, w))}{t}$$

отрицательный, а значит и максимальный показатель Ляпунова системы (3.5.2) в области диссипативности  $\mathcal{K}$

$$\nu_{\mathcal{K}} = \sup_{(q, w) \in \mathcal{K}} \nu(q, w)$$

отрицательный. По теореме из [15] множество  $\mathcal{K}$  равномерно экспоненциально устойчиво, а значит система устойчива по Ляпунову.

## Глава 4

# Численное моделирование стабилизации системы Билера–Рейтера

В третьей главе рассматривалась система (1.0.3) с введенной в нее функцией управления  $q(t)$  вместо параметра  $\sigma_{nab}$ , которая имеет вид (3.4.1), и были получены условия на функцию управления  $q(t)$ , отраженные в теореме (3.6.3), при которых система стабилизируется. Рассмотрим как стабилизация выглядит на практике.

Конкретно возьмем параметры из стандартной модели Билера–Рейтера:  $\sigma_{Ca} = 0.09$ ,  $C = 1$ ,  $v_{Na} = 40$ ,  $v_{Ca} = 80$  и найдем параметр  $\sigma_{nab}$  при котором возникает потеря устойчивости. Например, можно найти параметр, при котором возникает седло-узловая бифуркация и проверить условия ее возникновения по алгоритму описанному во второй главе, найдя перед этим состояние равновесия системы (Приложение А). После вычислений получили точку  $u_0 = (-2.15344480199925, 2.43151903794977, 2.6637578950646)$

В нашем случае параметр равен 0.367277. Произведем сдвиг  $\alpha = \sigma_{nab} - 0.367277$ . При  $\alpha = 0$  одно собственное число матрицы Якоби системы равно 0, а другие имеют вещественные части не равные нулю. Также условие  $\frac{\partial^2 g(x, \alpha)}{\partial x^2}(0, 0) \neq 0$  для отображения Пуанкаре  $g(x, \alpha)$  тоже выполняется и  $\frac{\partial^2 g(x, \alpha)}{\partial x^2}(0, 0) = 14.0757$ . Программа по вычислению параметра и проверки условий приведена в приложении Б.

При таком наборе параметров ограничение на функцию  $q(t)$  из класса допустимых управлений, который был описан в разделе (3.5), имеет вид:  $|q(t)| < 0.006993$ ,  $t > 0$ . В качестве управления возьмем представителя из класса почти периодических функций  $q(t) = 0.006 \sin(t^2)$ , которая удовлетворяет условию.

Построим графики потенциала действия  $v(t)$  для модели с таким управлением (см. рис. 4.0.1b) и без (см. рис. 4.0.1a).

При бифуркации потенциал не переходит в отрицательную область, а стремится к некоторому положительному значению. В случае управляемой модели (см. рис. 4.0.1b) мембраны сердечного миокарда наблюдается стандартное поведение потенциала клеточной мембраны, свойственное здо-

ровым клеткам сердца, то есть наблюдается стабилизация системы (1.0.3).

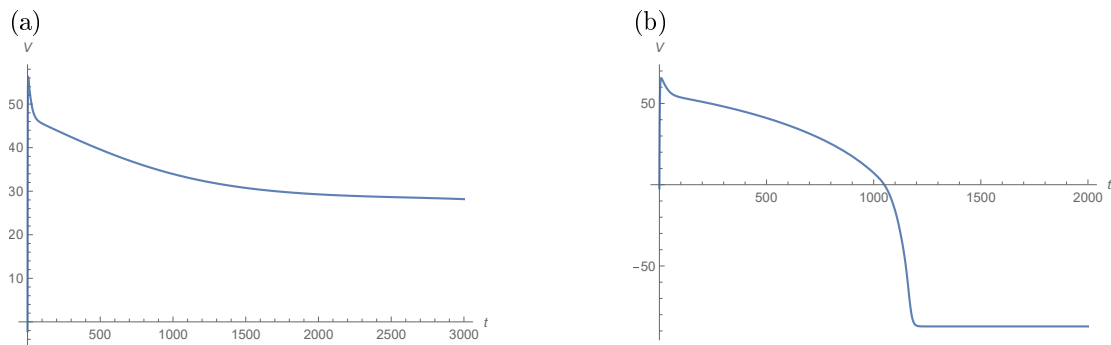


Рис. 4.0.1: Зависимость потенциала клеточной мембраны  $v$  (в мВ) от времени (в сек.) для модели без управления (а) и для модели с функцией управления  $q(t) = 0.006 \sin(t^2)$  (b).

Аналогичным образом можно получить стабилизацию и по другим компонентам решения системы (1.0.3).

Полученный результат хорошо согласуется с моделью работы сердца. При нормальном функционировании сердца потенциал клеточной мембраны миокарда, то есть первая компонента решения системы (1.0.3), имеет отрицательное состояние равновесия и после стимуляции мембраны синоатриальным узлом, потенциал возвращается в свое состояние равновесия за промежуток времени, называемый рефрактерным периодом. В случае нарушения, а именно при седло–узловой бифуркации, потенциал мембраны не возвращается в свое обычное состояние равновесие, а переходит в новое, положительное (см. рис. 4.0.1b, 4.0.1a). С точки зрения физиологии сердца в мембране относительный рефракторный период длится дольше и для него нужен более сильный стимул, чтобы вернуть его в отрицательную область значений. Удлинение относительного рефрактерного периода приводит к снижению частоты сердечных сокращений и устранению нарушений ритма работы сердца, а слишком продолжительный к блокаде сердца. Это очень опасный режим сердца.

## Заключение

1. Представлена математическая модель Билера–Рейтера проводящей системы сердца и изложены ее наиболее важные физиологические свойства.
2. Используя теорию динамических систем и, в особенности, теорему о редукции на центральное многообразие, описан подход к построению отображения Пуанкаре для исследования бифуркации удвоения периода и седло–узловой бифуркации в системе Билера–Рейтера.
3. Построен коцикл для системы Билера–Рейтера и доказана его диссипативность. Получены оценки сингулярных чисел и функции управления, гарантирующие равномерную экспоненциальную устойчивость системы Билера–Рейтера на инвариантном множестве.
4. Для случая седло–узловой бифуркации проведена стабилизация заданной системы с помощью почти периодической функции управления.

## Список литературы

1. А.В.Ардашев, А.Ю.Лоскутов. Практические аспекты современных методов анализа variability сердечного ритма. – М.: Медпрактика-М, 2010. – 126с.
2. М.Б.Беркинблит, Е.Г.Глаголева. Электричество в живых организмах. – М.: Библиотечка «Квант», 1988. – №69. – 288с.
3. Н.А.Магницкий, С.В. Сидоров. Новые методы хаотической динамики – М.: Едиториал УРСС, 2004. – 318с.
4. Н.А.Магницкий, С.В.Сидоров. Управление хаосом в нелинейных динамических системах // Дифференциальные уравнения, 1998. – т.34, №11. – с.1501-1509.
5. Ф.Райтманн. Динамические системы, аттракторы и оценки их размерности. – Учеб. пособие – СПб.: изд-во С.-Петербург. ун-та, 2013. – 222с.
6. А.С. Слепухин. Верхние оценки размерности Хаусдорфа отрицательно инвариантных множеств и аттракторов коциклов. – Кандидатская диссертация. – СПб: СПбГУ, 2012. – 113с.
7. Б.Хэссард, Н.Казаринов, И.Вен. Теория и приложения бифуркации рождения цикла. – М.: Мир, 1985. – 280с.
8. О.В.Шарников. Управление бифуркациями в модели Билера-Рейтера для проводящей системы сердца. – Дипломная работа. – СПб: СПбГУ, 2015. – 43с.
9. G. W. Beeler, H. Reuter. Reconstruction of the action potential of ventricular myocardial fibres // J. Physiol. – 1977. – Vol. – 268. – P. 177-210.
10. V. A. Boichenko, G. A. Leonov, V. Reitmann. Dimension Theory for Ordinary Differential Equations. – Wiesbaden, Teubner, 2006. – P. 443.
11. K. Fujimoto, K. Aihara. Bifurcation avoidance control of state periodic points using the maximal local Lapunov exponent. // J. Nonlinear Theory and It's Application – 2015. – Vol. – P. 2-14.
12. M. R. Guevara, G. Ward, A. Shrier, L. Glass. Electrical alternans and period-doubling bifurcations. // IEEE Computer Society. – Salt Lake City: Silver Spring, 1984. – P. 167-170.
13. A. L. Hodgkin and A. F. Huxley. A quantitative description of membrane current and its application to conduction and excitation in

- nerve.//J.Physiol-1952.-Vol.117,№4-P.500-544.
14. T.Matsumoto,M.Komuro,H.Kokubu,R.Tokunaga.Bifurcations:Sights,Sounds and Mathematics.-Tokyo:Springer-Verlag,1993.-P.468.
  15. S.Novo, R.Obaya, A.M.Sanz. Exponential stability in non-autonomous delayed equations with applications to neural networks.//Discrete and Continious Dynamic Systems-2007.-Vol.18,№2,3.-P.517-536.
  16. H.Troger, A.Steindl. Nonlinear Stability and Bifurcation Theory.-Wien, New-York:Springer-Verlag,1991.-P.407.
  17. H.O.Wang, D.Chen, G.Chen. Bifurcation control of pathological heart rhythms.//Automatica,1998.-Vol.2.- P.858-862.
  18. H.O.Wang, D.Chen,L.Bushnell. Dynamic feedback control of bifurcations.//39th IEEE Conference on Decision and Control-2000.-Vol. 2,№ 55-P.1619 - 1624.
  19. C. Zemlin, E. Storch, H. Herzl. Alternans and 2:1 rhythms in an ionic model of heart cells//BioSystems,2002.-Vol.66- P.1-10



# Приложение А

Вычисление состояния равновесия. (Программный пакет Maple)

1. > restart;
2. > with(DirectSearch);
3. > with(linalg);
4. > eq1 := -(1\*1)\*(0.3e-2\*(V-40)+0.9e-1\*d\*n\*(V-80)+
5. > 5.35\*((4\*(exp(0.4e-1\*(V+85))-1))/(exp(0.8e-1\*(V+53))
6. > +exp(0.4e-1\*(V+53)))+(.2\*(V+23))/(1-exp(-0.4e-1\*(V+23)))) = 0;
7. > eq2 := 0.95e-1\*exp(-0.1e-1\*(V-5))\*(1-d)/(exp(-.72\*(V-5))+1)-
8. > 0.7e-1\*exp(-0.17e-1\*(V+44))\*d/(1+exp(0.5e-1\*(V+44))) = 0;
9. > eq3 := 0.12e-1\*exp(-0.8e-2\*(V+28))\*(1-n)/(1+exp(.15\*(V+28)))-
10. > 0.65e-2\*exp(-0.2e-1\*(V+30))\*n/(1+exp(-.2\*(V+30))) = 0;
11. > SolveEquations([eq1, eq2, eq3], tolerances = 10^(-12));

## Приложение В

Проверка условий возникновения седло–узловой бифуркации. (программный пакет Wolfram Mathematica)

```

g1 = Simplify [(0.095 E^(-0.01 (-5 + V)))/(1 +
E^(-0.72 (-5 + V)))]];
g2 = Simplify [(0.07 E^(-0.017 (44 + V)))/(1 +
E^(0.05 (44 + V)))]];
f1 = Simplify [(0.012 E^(-0.008 (28 + V)))/(1 +
E^(0.15 (28 + V)))]];
f2 = Simplify [((0.0065 E^(-0.02 (30 + V)))/(1 +
E^(-0.2 (30 + V))))];
xVec = {V, d, f};
func[xVec_] := {-(0.003 + a)*(V - 40) +
0.09*d*f*(V - 80) + (0.35)*(4*(Exp[0.04*(V + 85)] -
1)/(Exp[0.08*(V + 53)]
+ Exp[0.04*(V + 53)]) + (.2*(V + 23))/(1 -
Exp[-0.04*(V + 23)]))},
g1*(1 - d) - d*g2, f1*(1 - f) - f2*f} ;
J = D[func[xVec], {xVec}] /. {V -> -2.153444, d -> 2.431519,
f -> 2.663757};
sol = Solve[Det[J] == 0, a] J = J /. sol[[1]] ;
Eigenvalues[J] X1 = Exp[J];
fi = Take[Transpose[X1], 1][[1]];
Summa = D[D[func[xVec], {xVec}], V]*fi[[1]] +
D[D[func[xVec], {xVec}], d]*fi[[2]]
+ D[D[func[xVec], {xVec}], f]*fi[[3]] /. {V ->
-2.1534448019992,
d -> 2.43151903794977, f -> 2.6637578950646};
X2[t_] = {X21[t], X22[t], X23[t]};
{sol1, sol2, sol3} = DSolveValue[{X2'[t] ==
J.X2[t] + Summa.fi,
X2[0] == {0, 0, 0}}, {X21, X22, X23}, t];
sol1[t] /. t -> 3;

```